

for Thermal Energy Measurement

Evaluating the flow disturbance test in EN 1434 A comparative study







Entwicklung der Störkörper in der EN 1434



Drallgenerator nach EN 1434:2016 [1], ISO 4064 [2] / OIML R 49 [3]

erzeugt symmetrische Drallkomponente



Asymmetrischer Drallgenerator (ASG) nach Tawackolian [5]

- Erzeugt Drall + reproduzierbare Asymmetrie
- Nachweisliche Darstellung des Raumkrümmers (RK) ab ~15 D



Neuer Störkörper der EN 1434:2022 [9] nach Straka et al. [10]

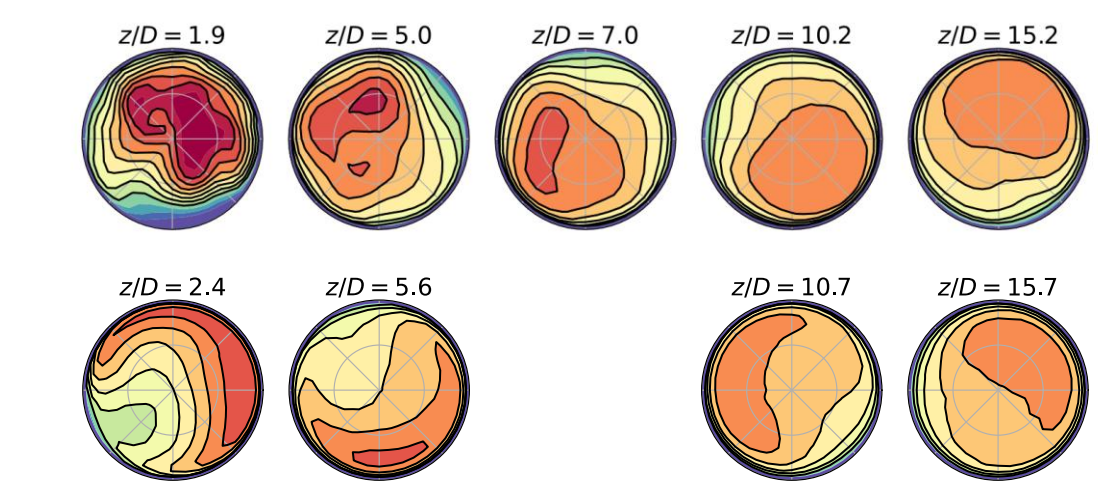
- Vergrößerung der Blende -> Erhöhung Drall & Asymmetrie
- Darstellung des Raumkrümmers ab ~5 D (Strömungsanalyse)
- Erhebliche Verbesserung im Vergleich zum Drallgenerator

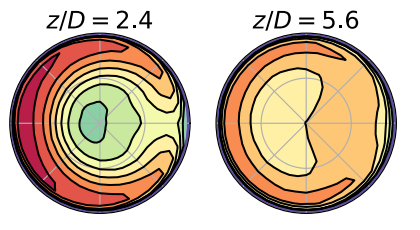
Vergleich der Strömungsprofile



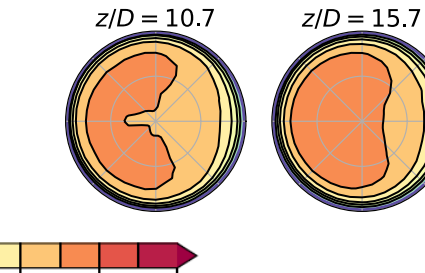


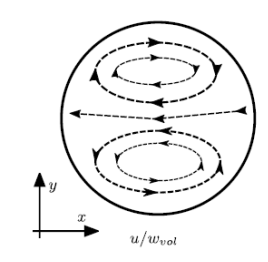






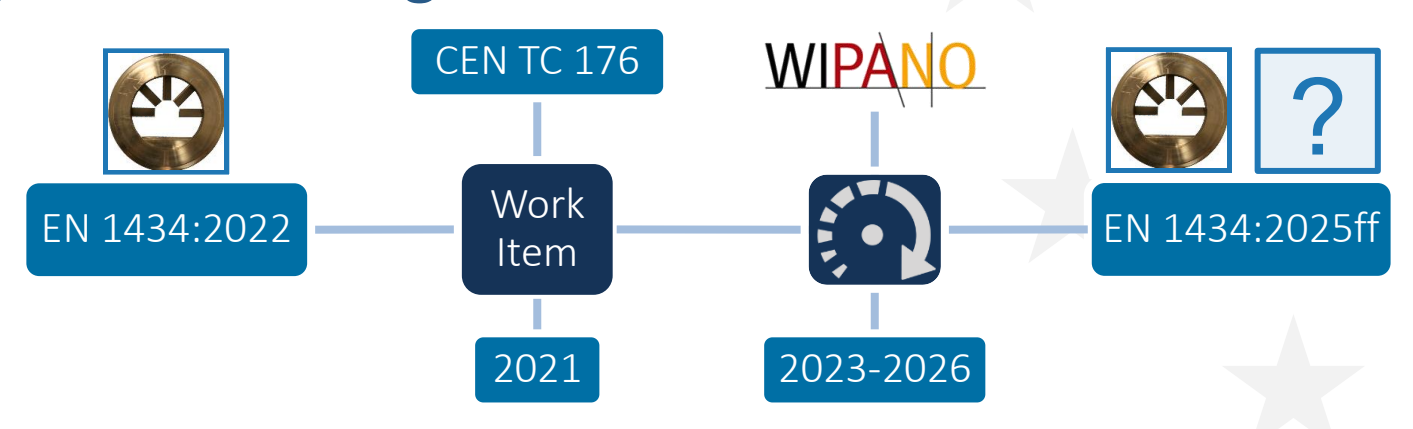
 w/w_{vol}





0.9

Projektvorstellung



- WIPANO (BMWE) Wissens- und Technologietransfer durch Patente und Normen
- Work item: Flow profiles in water and water glycol solution networks, e.g. 90° bend and double bend out of plane
- Laufzeit: September 2023 April 2026
- Projektpartner: Physikalisch-Technische Bundesanstalt (PTB), Wärmezähler-Service-GmbH (WSG)
- Zielstellung
 - Messtechnische Validierung der Zulassung ohne Einlaufstrecke ("OD-Zulassung") im Durchflusstest der EN 1434
 - Entwicklung eines Störkörpers zur Darstellung des Nahfeldbereichs hinter Krümmer-Konfigurationen
 - Ggf. Erweiterung des Durchflusstests um neuen Störkörper



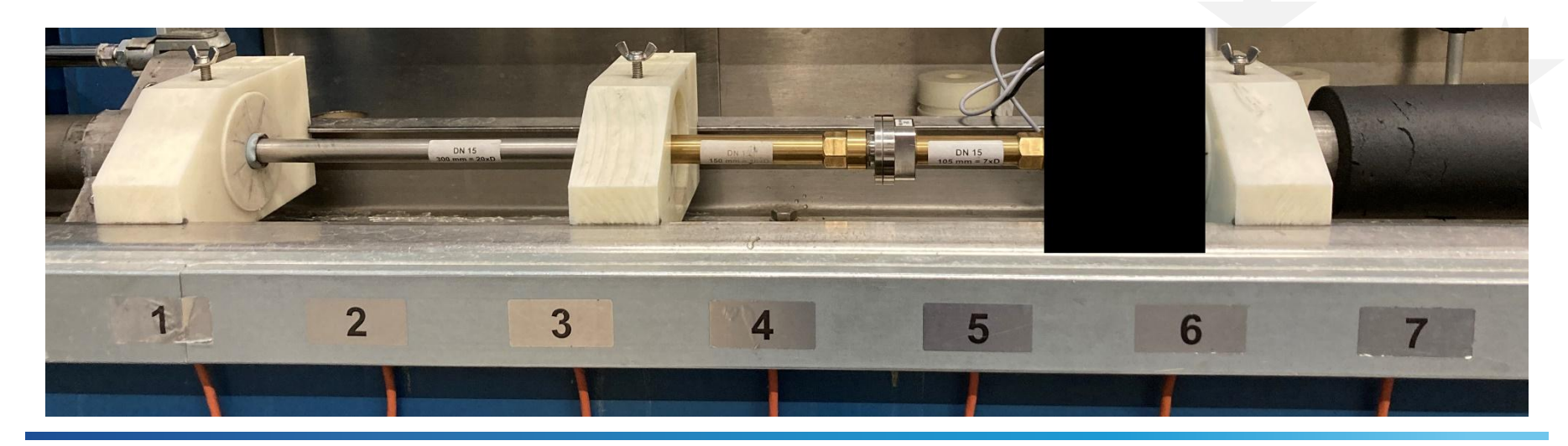






Wärmezähleruntersuchungen

- Durchführung an einem Prüfstand der WSG
- 14 Wärmemengenzähler
- Einbausituationen: ungestört, ASG (0D & 7D), 90°- und Raumkrümmer (0D & 5D)



Zählerauswahl

Hersteller

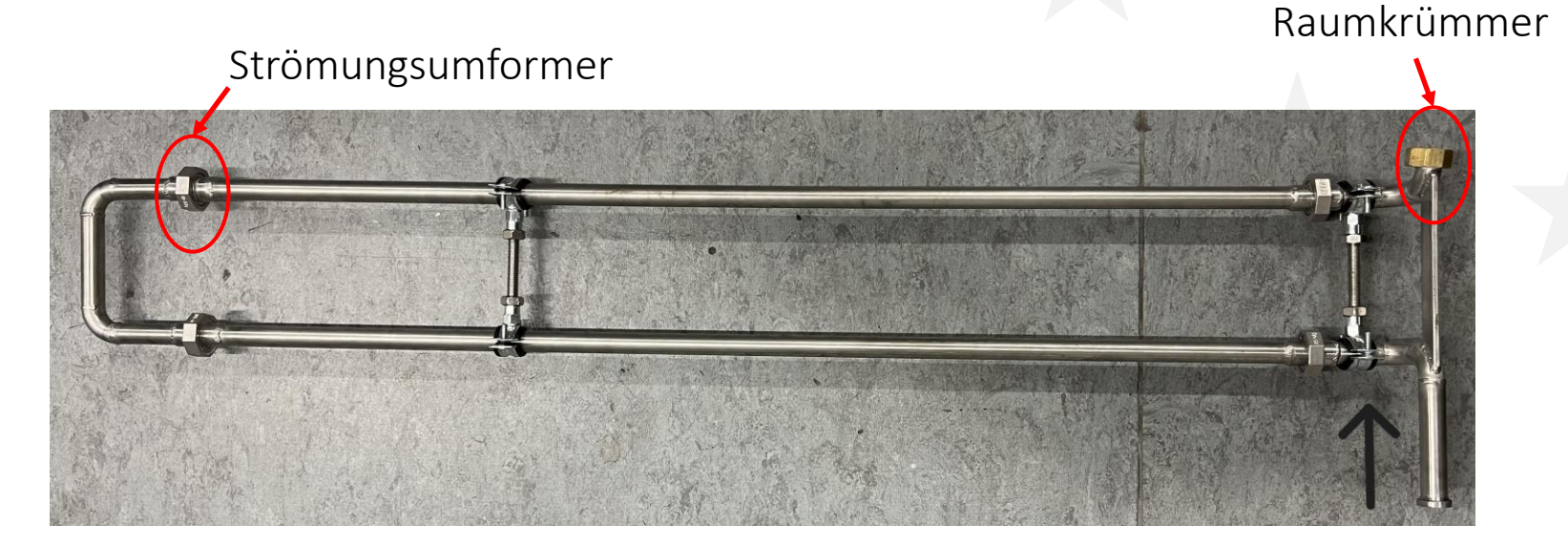
Belimo, Diehl, Ista, Itron, Kamstrup, Landis+Gyr, Qundis, Sensus, Zenner

Bauarten	DN	q_p	МВ	Gen. Klassen	Prüfarten
11 x US	8 x 15	2 x 0,6	11 × 100	11 x 2	9 x NOWA
$1 \times MK$	6 x 25	6 x 1,5	1 x 50	3 x 3	2 x Impulse
2 x ES		3 x 3,5	2 x 25		3 x Display (steh. St./St.)
		3 x 6,0			



Krümmereinbau

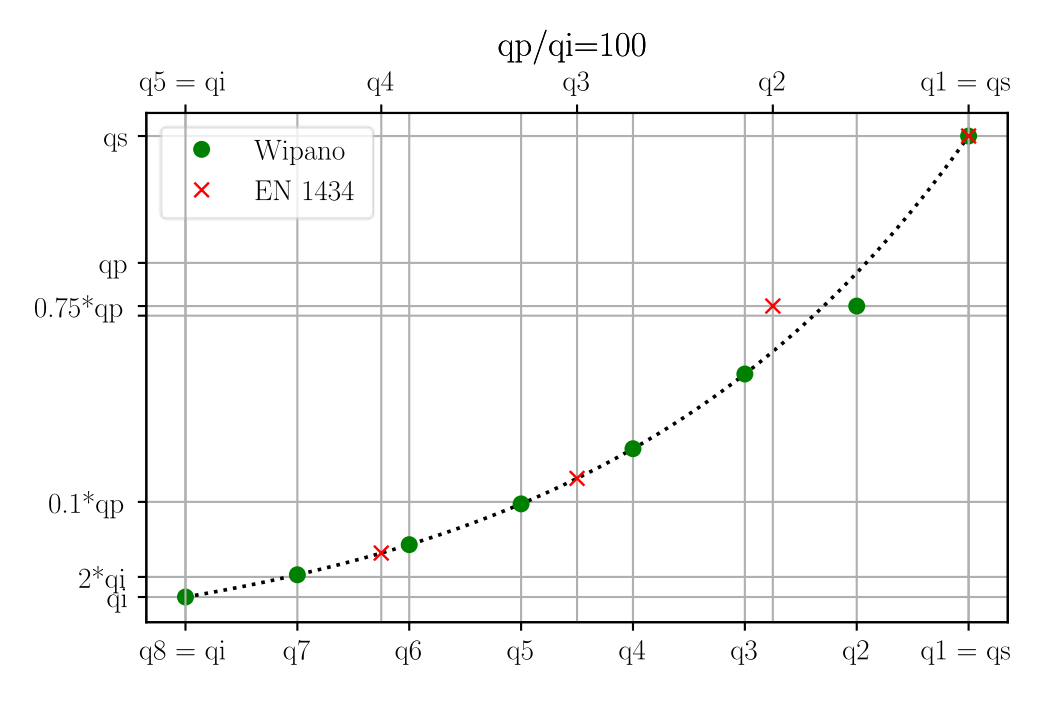
Einlaufstrecke vor 90°-/Raumkrümmer: 65D (DN15) bzw. 40D (DN25) nach Strömungsumformer



Messpunkte



Messpunkt	q_p/q_i									
iviesspulikt	25	50	100							
q8=q _i	1	1	1							
q7	1.749	1.931	2.132							
q6	3.058	3.728	4.544							
q5	5.347	7.197	9.686							
q4	9.351	13.895	20.648							
q3	16.351	26.827	44.014							
q2	18.750	37.5	75							
q1=q _s	50	100	200							





Prüfprogramm

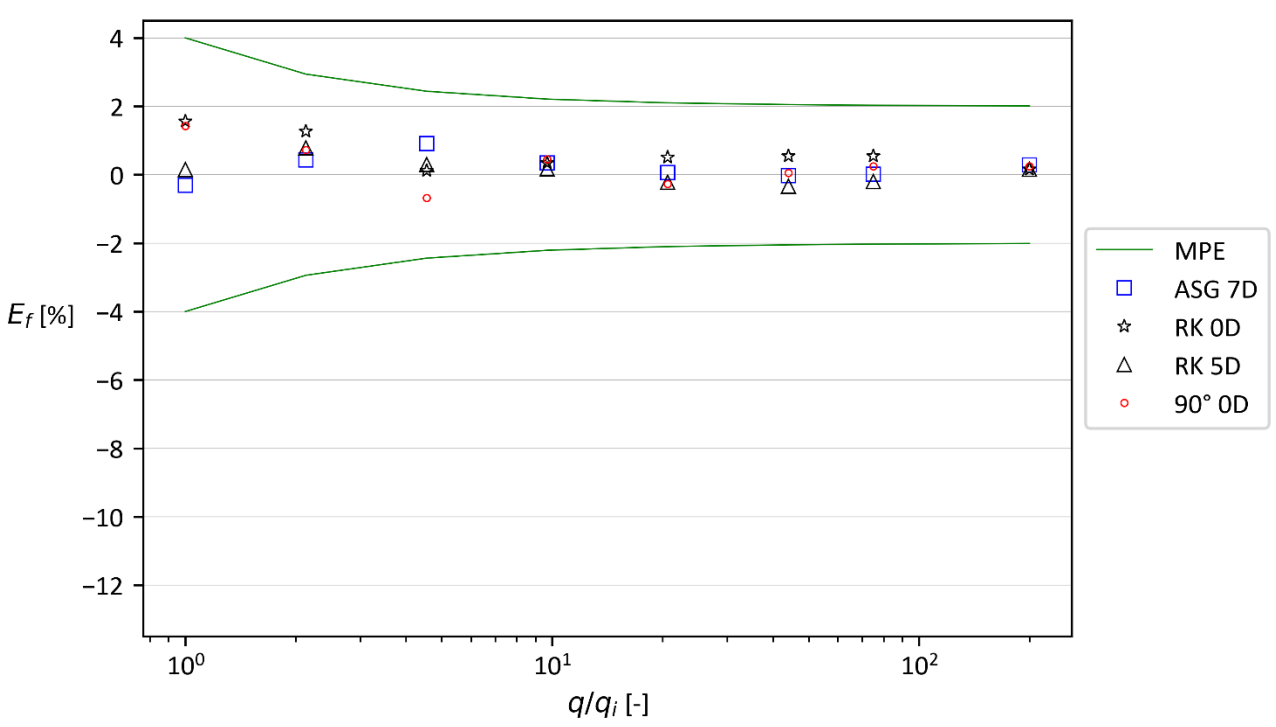
Zähler	А	В	С	D	E	F	G	Н	1	J	К	L	М	N
					DN15 - qp1.5				DN25 - ap 3.5			DN25 - ap 6.0		
Basis-Messung	- 411			- 11		1						- 111		111
ungestörter Einlauf 30xD														
ASG 0xD		•												
0 ° Blende oben														
45° gedreht														
90° gedreht														
135° gedreht														
7xD														
0 ° Blende oben														
45° gedreht														
90 ° gedreht														
135° gedreht														
90° - Bogen														
0xD														
5xD														
Raumkrümmer														
0xD														
5xD														
Abschluss Basis- Messung														
ungestörter Einlauf 30xD														







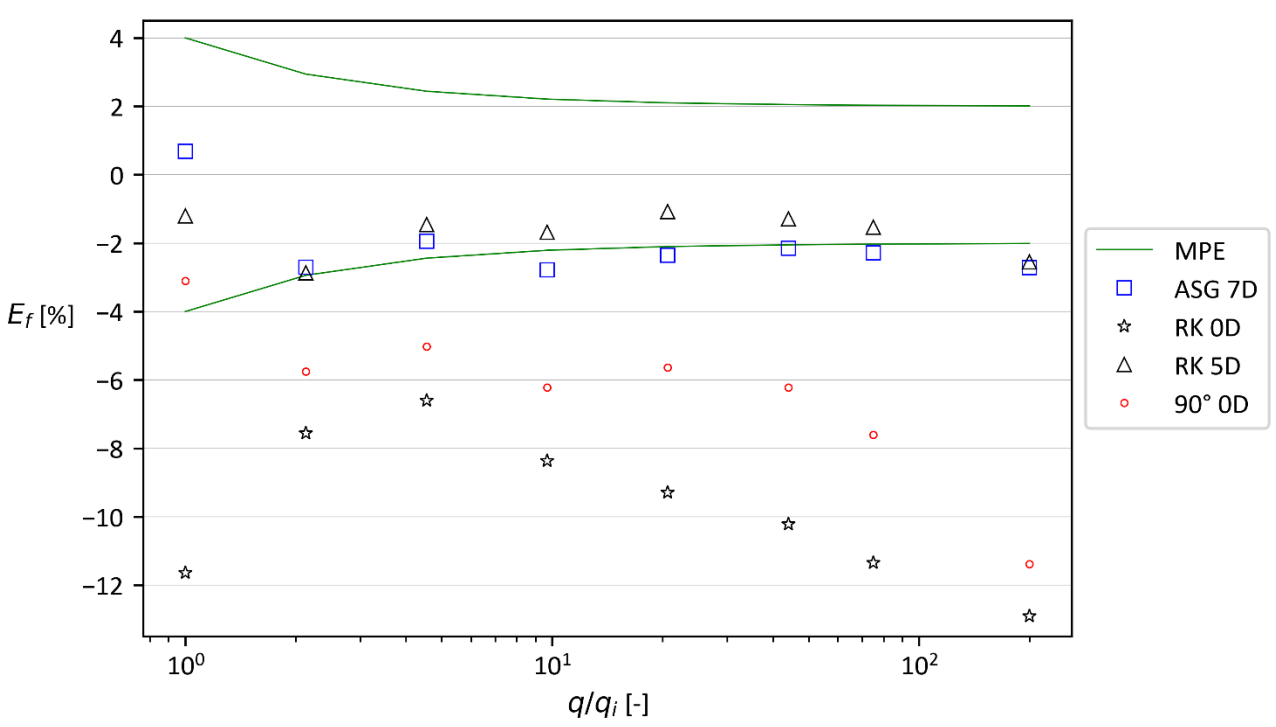
Zähler A – ASG 7D und Störungen



 E_f – Differenz zwischen der Messabweichung der Anzeige und der Eigenabweichung des Messgeräts (EN 1434-1:2022 3.10.1)



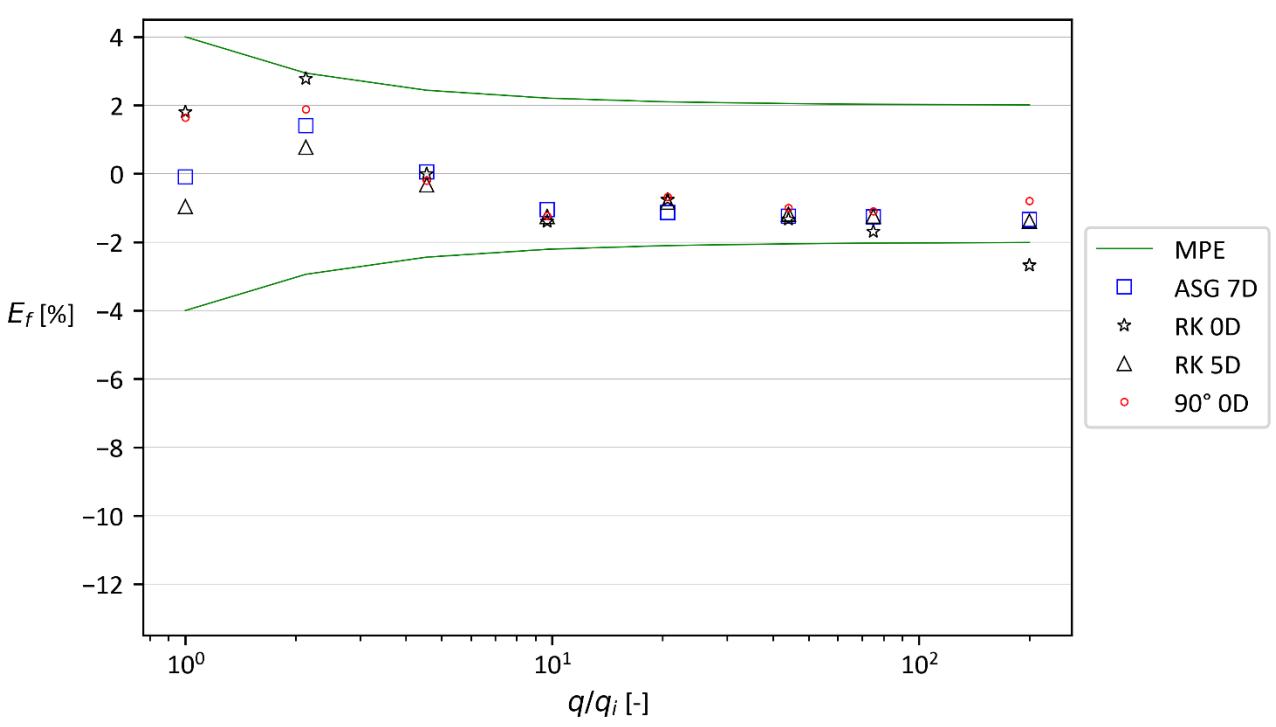
Zähler N – ASG 7D und Störungen



 E_f – Differenz zwischen der Messabweichung der Anzeige und der Eigenabweichung des Messgeräts (EN 1434-1:2022 3.10.1)



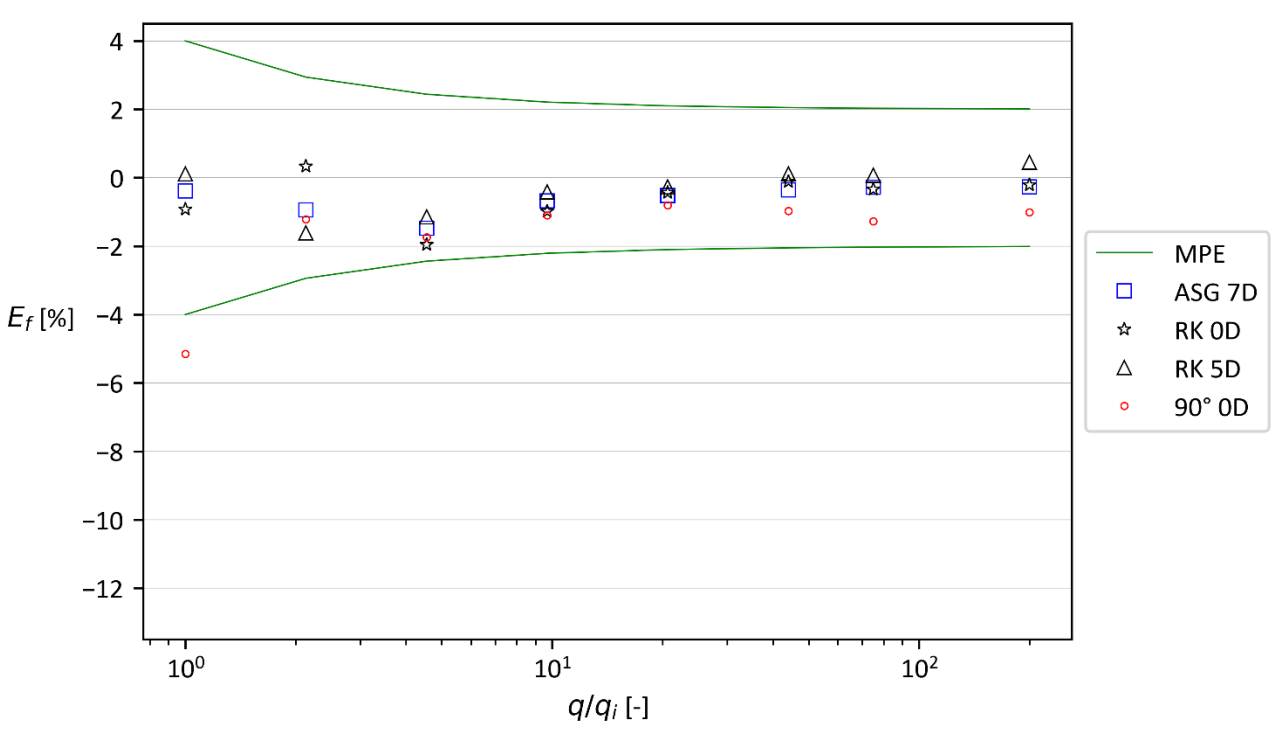
Zähler J – ASG 7D und Störungen



 E_f – Differenz zwischen der Messabweichung der Anzeige und der Eigenabweichung des Messgeräts (EN 1434-1:2022 3.10.1)



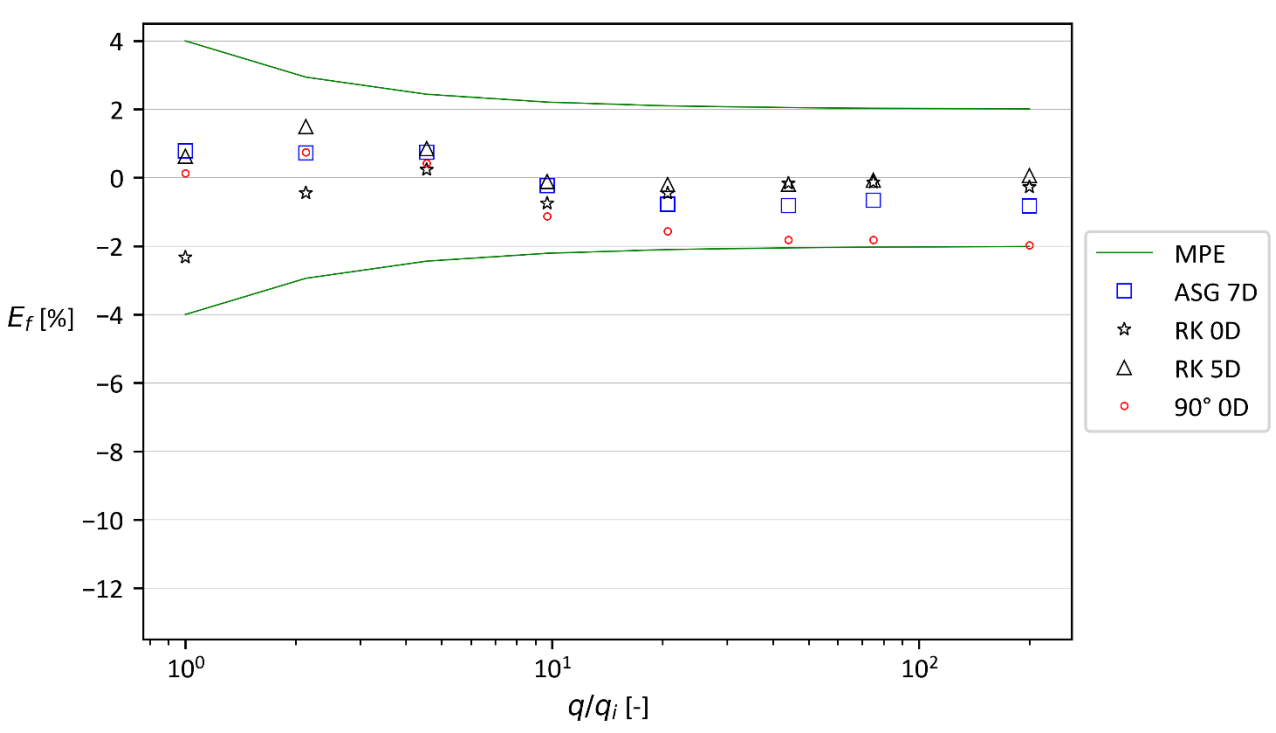
Zähler C – ASG 7D und Störungen



 E_f – Differenz zwischen der Messabweichung der Anzeige und der Eigenabweichung des Messgeräts (EN 1434-1:2022 3.10.1)



Zähler D – ASG 7D und Störungen



 E_f – Differenz zwischen der Messabweichung der Anzeige und der Eigenabweichung des Messgeräts (EN 1434-1:2022 3.10.1)



Übersicht des Prüfprogramms

Zähler	Α	В	С	D	E	F	G	Н	ı	J	К	L	М	N
	DN15 - qp 0.6	DN15 - qp0.6	DN15 - qp 1.5	DN15 - qp1.5	DN15 - qp1.5	DN15 - qp 1.5	DN15 - qp 1.5	DN15 - qp 1.5	DN25 - qp 3.5	DN25 - qp 3.5	DN25 - qp 3.5	DN25 - qp 6.0	DN25 - qp 6.0	DN 25 – qp 6.0
Basis-Messung														
ungestörter Einlauf 30xD														
ASG	Durchflusstost nach EN 1424													
7xD	Durchflusstest nach EN 1434													
0 ° Blende oben														5
45° gedreht														
90° gedreht												1		
135° gedreht												2		1
90° - Bogen														
0xD			1									6		7
5xD												1		2
Raumkrümmer														
0xD										1		8		8
5xD													2	1
Abschluss Basis- Messung														
ungestörter Einlauf 30xD														

liegt innerhalb der MPE
liegt mit x Messpunkten außerhalb der MPE; kein Durchflusspunkt aus EN 1434
liegt mit x Messpunkten außerhalb der MPE; Durchflusspunkt aus EN 1434



Zusammenfassung

4/14 der Zähler liegen nach Störungen außerhalb der MPE

→ **50% bestehen nicht** den Durchflusstest

→ **50% bestehen** den Durchflusstest



Quellennachweise

- [1] EN 1434-4:2016. Heat meters Part 4: Pattern approval tests. Standard. 2016.
- [2] ISO 4064-2:2014. Water meters for cold potable water and hot water Part 2: Test methods. Standard. 2014.
- [3] OIML R 49-2:2013. Water meters for cold potable water and hot water Part 2: Test methods. Standard. 2013.
- [4] Wendt, G.: Gegenüberstellung des Profils von Swirl-Generator und Raumkrümmer. In: 3. EMATEM-Sommerschule, 2007.
- [5] Tawackolian, K.: Fluiddynamische Auswirkungen auf die Messabweichung von Ultraschall-Durchflussmessgeräten. Dissertation. TU Berlin, 2013.
- [6] Graner, S.; Hinz, D.F.; Breitsamter, C.: Downstream relaxation of velocity profiles in pipe-flow with swirl disturbances, Tech. Mess. 83. 2016.
- [7] Turiso, M.; Straka, M.; Rose, J.; Bombis, C.; Hinz, D.F.: The asymmetric swirl disturbance generator: Towards a realistic and reproducible standard. Flow Meas. Instr. 60. 2018.
- [8] van Hove, A.; Skov, L.N.; Hinz, D.F.: Reproducibility of Experiments With Swirling Flow: Numerical Prediction With Polynomial Chaos. J. Verfif. Valid. Uncert 3(1). 2018.
- [9] EN 1434-4:2020. Heat meters Part 4: Pattern approval tests. Standard. 2016.
- [10] M. Straka, T. Eichler, C. Koglin, and J. Rose. Similarity of the asymmetric swirl generator and a double bend in the near-field range. Flow Meas. and Instrum., 70:101647, 2019.

